

Algoritmy v digitální kartografii

Digitální model terénu a jeho analýzy

Zimní semestr 2018/2019

Tereza Kulovaná
Markéta Pecenová

Obsah

1	Zadání	2
2	Popis a rozbor problému	3
3	Algoritmy	3
3.1	Delanuayho triangulace	3
3.2	Vrstevnice	4
3.3	Sklon	5
3.4	Orientace	5
4	Problematické situace	5
5	Vstupní data	5
6	Výstupní data	6
7	Aplikace	7
8	Zhodnocení dosažených výsledků	10
9	Dokumentace	11
9.1	Algorithms	11
9.2	Draw	14
9.3	Edge	15
9.4	QPoint3D	15
9.5	SortByXAsc	16
9.6	Triangle	16
9.7	Widget	16
10	Závěr	18
11	Zdroje	19

1 Zadání

Zadání úlohy bylo staženo ze stránek předmětu 155ADKG.

Vstup: množina $P = \{p_1, \dots, p_n\}$, $p_i = \{x_i, y_i, z_i\}$.

Výstup: polyedrický DMT nad množinou P představovaný vrstevnicemi doplněný vizualizací sklonu trojúhelníků a jejich expozicí.

Metodou inkrementální konstrukce vytvořte nad množinou P vstupních bodů 2D Delaunay triangulaci. Jako vstupní data použijte existující geodetická data (alespoň 300 bodů) popř. navrhněte algoritmus pro generování syntetických vstupních dat představujících významné terénní tvary (kupa, údolí, spočinek, hřbet, ...).

Vstupní množiny bodů včetně níže uvedených výstupů vhodně vizualizujte. Grafické rozhraní realizujte s využitím frameworku QT. Dynamické datové struktury implementujte s využitím STL.

Nad takto vzniklou triangulací vygenerujte polyedrický digitální model terénu. Dále proveďte tyto analýzy:

- S využitím lineární interpolace vygenerujte vrstevnice se *zadaným krokem* a v *zadaném intervalu*, proveďte jejich vizualizaci s rozlišením zvýrazněných vrstevnic.
- Analyzujte sklon digitálního modelu terénu, jednotlivé trojúhelníky vizualizujte v závislosti na jejich sklonu.
- Analyzujte expozici digitálního modelu terénu, jednotlivé trojúhelníky vizualizujte v závislosti na jejich expozici ke světové straně.

Zhodnot'te výsledný digitální model terénu z kartografického hlediska, zamyslete se nad slabinami algoritmu založeného na 2D Delaunay triangulaci. Ve kterých situacích (různé terénní tvary) nebude dávat vhodné výsledky? Tyto situace graficky znázorněte.

Zhodnocení činnosti algoritmu včetně ukázek proveďte alespoň na tři strany formátu A4.

Hodnocení:

Krok	Hodnocení
Delaunay triangulace, polyedrický model terénu.	10b
Konstrukce vrstevnic, analýza sklonu a expozice.	10b
Triangulace nekonvexní oblasti zadané polygonem.	+5b
Výběr barevných stupnic při vizualizaci sklonu a expozice.	+3b
Automatický popis vrstevnic.	+3b
Automatický popis vrstevnic respektující kartografické zásady (orientace, vhodné rozložení).	+10b
Algoritmus pro automatické generování terénních tvarů (kupa, údolí, spočinek, hřbet, ...).	+10b
3D vizualizace terénu s využitím promítání.	+10b
Barevná hypsometrie.	+5b
Max celkem:	65b

Čas zpracování: 3 týdny

V rámci této úlohy nebyly implementovány žádné bonusové úlohy.

2 Popis a rozbor problému

Úloha **Digitální model terénu a jeho analýzy** se zabývá vytvořením aplikace, která Delaunayho triangulací nad vstupní množinou bodů P vytvoří trojúhelníkovou síť, pro kterou se lineární interpolací vypočítají vrstevnice. Aplikace dále počítá a vhodně vizualizuje sklon a expozici trojúhelníků ke světovým stranám.

Způsobů, jak geometricky zkonstruovat trojúhelníkovou síť, je více. Pro účely této úlohy byla vybrána Delaunayho triangulace, protože poskytuje optimální trojúhelníky z hlediska tvaru, což je zejména v kartografii velmi důležité. Delaunayho triangulace má čtyři základní vlastnosti:

1. Uvnitř kružnice opsané trojúhelníku $t_i \in DT$ neleží žádný jiný bod množiny P .
2. DT maximalizuje minimální úhel v $\forall t_i$, avšak DT neminimalizuje maximální úhel v t_i .
3. DT je lokálně optimální i globálně optimální vůči kritériu minimálního úhlu.
4. DT je jednoznačná, pokud žádné čtyři body neleží na kružnici.¹

3 Algoritmy

Tato kapitola se zabývá popisem algoritmů, které byly v aplikaci implementovány.

3.1 Delaunayho triangulace

Delaunayho triangulace byla realizována inkrementální konstrukcí, která je založena na postupném přidávání bodů do již vytvořené triangulace. Během výpočtu je používána struktura *AEL* (Active Edge List), která obsahuje všechny hrany, proto které ještě nebyl nalezen třetí bod trojúhelníku. Hrana, pro kterou byl bod nalezen, je vzápětí ze seznamu odstraněna. Před přidáním hran do seznamu je kontrolováno, zda se v něm již nenachází hrana s opačnou orientací. V takovém případě není hrana do seznamu přidána.

Mějme množinu bodů P a orientovanou hranu e_i . Hledáme takový bod $p_i \in P$, který se nachází v levé polorovině vymezené hranou e_i , pro který dále platí, že poloměr kružnice jemu a hraně opsané je minimální. Během výpočtu jsou upřednostňovány body, jejichž středy opsaných kružnic se nachází v pravé polorovině. Je-li bod splňující výše uvedené kritéria nalezen, vytvoří se dvě nové orientované hrany e_{i+1} a e_{i+2} , které se přidají do triangulace a do *AEL*. Původní hrana e_i je z *AEL* odstraněna. Není-li žádný vhodný bod nalezen, dochází k prohození orientace hrany e_i a postup je opakován. Celý proces je ukončen ve chvíli, kde se v *AEL* nenachází již žádná hrana.

Zjednodušený zápis algoritmu lze zapsat způsobem uvedeným níže:

1. Nalezení pivota a : $a = \min(x)$ a jemu nejbližší bod b

¹Zdroj: <https://web.natur.cuni.cz>, slide 22

2. Vytvoření $e_1 = (a, b)$
3. Nalezení Delaunayho bodu: $r(k_i) = \min, k_i = (e_1, p_i)$
4. Podmínka: p_i nenalezen $\rightarrow e_1 = (b, a)$, opakuj krok 3
5. Vytvoř zbylé hrany trojúhelníku: $e_2 = (b, p_i), e_3 = (p_i, a)$
6. Přidej hrany do AEI : $AEI \leftarrow e_1, AEI \leftarrow e_2, AEI \leftarrow e_3$
7. Přidej hrany do triangulace DT : $DT \leftarrow e_1, DT \leftarrow e_2, DT \leftarrow e_3$
8. Dokud $AEI \neq \emptyset$:
 - Vezmi první hranu z $AEI \rightarrow e_1$
 - Prohod' orientaci: $e_1 = (b, a)$
 - Nalezení Delaunayho bodu: $r(k_i) = \min, k_i = (e_1, p_i)$
 - Podmínka: p_i nalezen
 - Vytvoř zbylé hrany trojúhelníku: $e_2 = (b, p_i), e_3 = (p_i, a)$
 - Přidej hranu do DT : $DT \leftarrow e_1$
 - $add(e_2, AEI, DT), add(e_3, AEI, DT)$

Lokální algoritmus add :

1. Prohod' orientaci: $e' = (b, a)$
2. Podmínka: $e' \in AEI \rightarrow$ odstraň e' z AEI
3. Jinak: $AEI \leftarrow e'$
4. $DT \leftarrow e'$

3.2 Vrstevnice

Druhý algoritmus použitý v aplikaci slouží k výpočtu vrstevnic. Vrstevnice byly konstruovány metodou lineární interpolace, která je založena na předpokladu, že spád terénu mezi dvěma body p_i se mění stejně, tedy konstantně. Výpočet byl proveden postupně pro všechny trojúhelníky a vrstevnice byly ukládány jako seznam hran.

Mějme trojúhelník t_i tvořený třemi hranami $e_1(p_1, p_2)$, $e_2(p_2, p_3)$ a $e_3(p_3, p_1)$ a rovinu ρ o výšce Z . Hledáme průsečnici roviny trojúhelníku t_i s rovinou ρ . Pro kritérium $t = (z - z_i)(z - z_{i+1})$ mohou nastat tři základní situace:

1. $t < 0 \rightarrow e_i \cap \rho$
2. $t > 0 \rightarrow e_i \notin \rho$
3. $t = 0 \rightarrow e_i \in \rho$

Pro případy 2 a 3 nebyly vrstevnice řešeny. Nastane-li případ 1 ($e_i \cap \rho$), je pro hranu e_i a rovinu ρ níže uvedenými vzorci vypočten průsečík a o výšce z_a : (pro přehlednost uvedeno pro hranu e_1)

$$x_a = \frac{(x_2 - x_1)}{(z_2 - z_1)}(z_a - z_1) + x_1$$

$$y_a = \frac{(y_2 - y_1)}{(z_2 - z_1)}(z_a - z_1) + y_1$$

3.3 Sklon

Algoritmus pro výpočet sklonu počítá sklon jednotlivých trojúhelníků t_i . Sklon je úhel φ mezi svislicí n a normálou trojúhelníku n_t . Rovina trojúhelníku t_i je určena vektory u, v . Sklon nabývá hodnot $\langle 0^\circ; 90^\circ \rangle$ a v aplikaci je zobrazen v odstínech šedi.

$$n = (0, 0, 1)$$

$$n_t = \vec{u} \times \vec{v}$$

$$\varphi = \arccos \left(\frac{n_t \cdot n}{|n_t||n|} \right)$$

3.4 Orientace

Orientace terénu A je definována jako azimut průmětu gradientu normálového vektoru roviny trojúhelníku do roviny x, y . Nabývá hodnot $\langle 0^\circ; 360^\circ \rangle$ a v aplikaci je zobrazen barevnou škálou.

$$n_t = \vec{u} \times \vec{v}$$

$$A = \arctan 2 \left(\frac{n_x}{n_y} \right)$$

4 Problematické situace

5 Vstupní data

Pro účely této úlohy byla použita data, která byla naměřena v rámci geodetické výuky v terénu v Mariánské u Jáchymova. Souřadnice X a Y byly pro tuto úlohu zredukovány na rozumnou velikost, souřadnice Z byla zachována. Body byly zaměřeny metodou GNSS a totální stanicí a znázorňují tamní louku a část silnice. Seznam vstupních bodů je uložen v textovém souboru `testovací_data.txt`. Soubor je nutné do aplikace nahrát pomocí tlačítka *Load points*. Struktura textového souboru je následující:

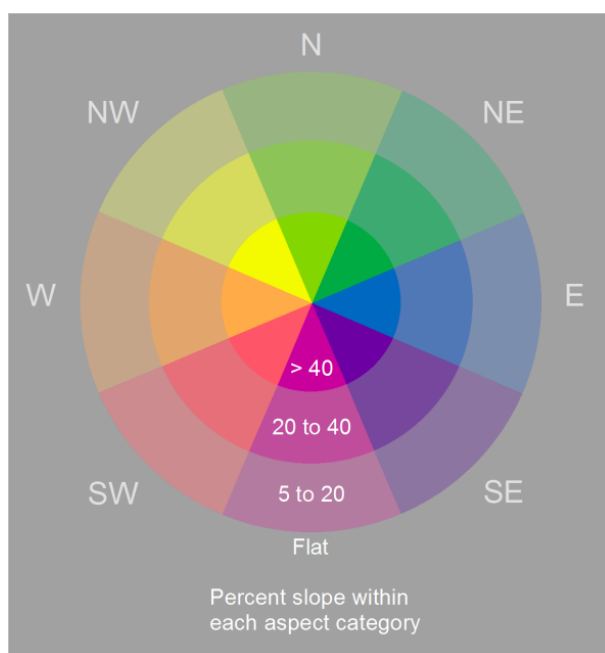
Sloupec 1: souřadnice Y [m]
Sloupec 2: souřadnice X [m]

Sloupec 3: souřadnice Z [m]

Po úspěšném/neúspěšném nahrání souboru je uživatel upozorněn hláškou. Uživatel nemůže kliknout na žádné jiné tlačítko pro výpočty, nejsou-li nahrána data (tlačítka jsou zašedivělá). Aplikace dále nedovoluje spustit výpočty, jež jsou pro své fungování závislé na trojúhelníkové síti, nebyla-li předtím vytvořena. Uživatel má dále možnost zvolit krok, v jakém se budou vykreslovat vrstevnice. Hodnoty lze měnit šipkami nahoru/dolů po 5 m nebo ručně vepsat hodnotu v rozmezí 0 m až 100 m. Delaunayova triangulace, vrstevnice, sklon a orientace se vygenerují stisknutím příslušných tlačítek.

6 Výstupní data

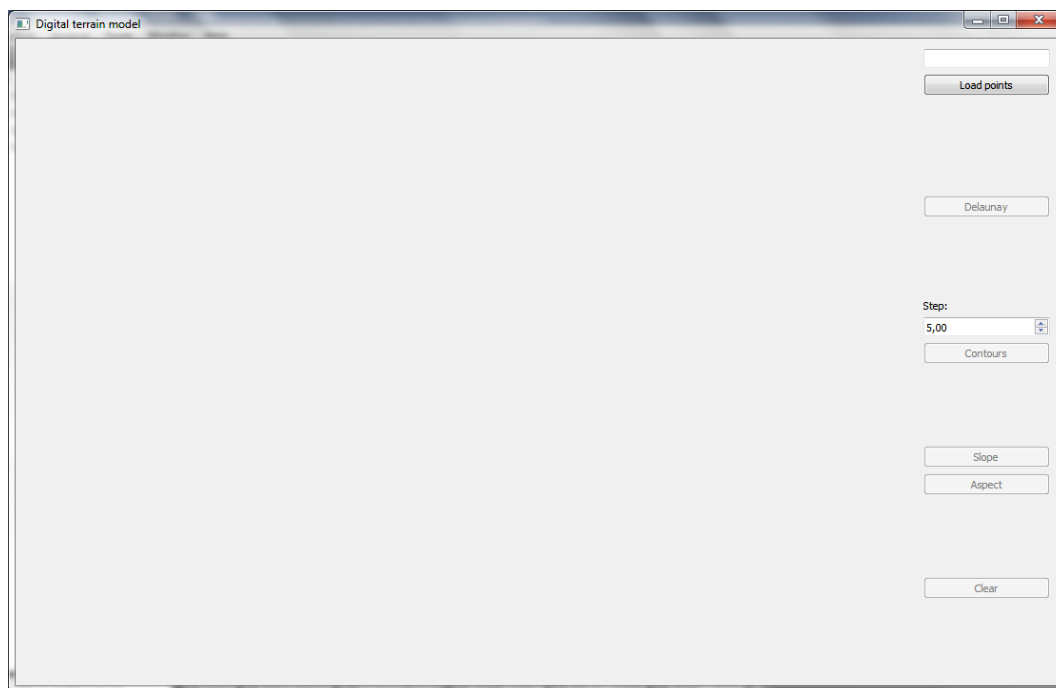
Vstupní množina bodů a nad ní vygenerovaná trojúhelníková síť je zobrazena ve grafickém okně aplikace. Vykreslování vrstevnic, sklonu a orientace je odděleno. U vrstevnic je každá pátá (hlavní) zvýrazněna. Sklon je v odstínech šedi (čím vyšší sklon, tím tmavší barva). Pro zobrazení orientace trojúhelníků ke světovým stranám byla využita prostřední kružnice barvené škály ze stránek společnosti *esri*, viz níže.



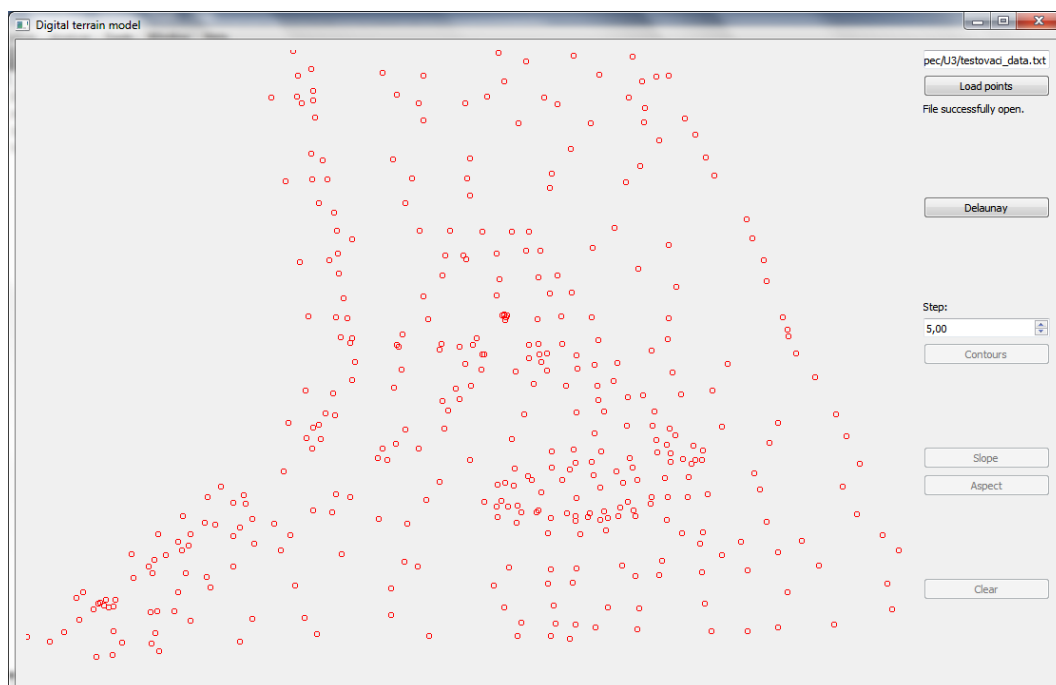
Obrázek 1: Barevná škála orientace trojúhelníků ke světovým stranám [Zdroj]

7 Aplikace

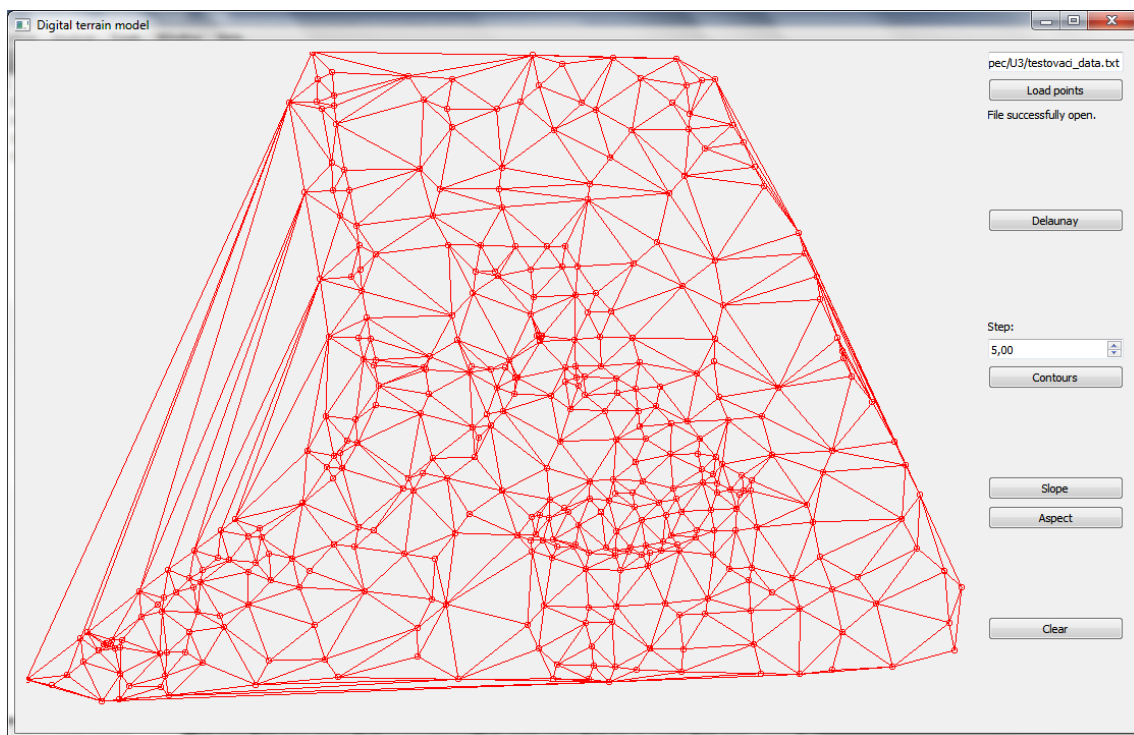
V následující kapitole je představen vizuální vzhled vytvořené aplikace tak, jak ji vidí prostý uživatel.



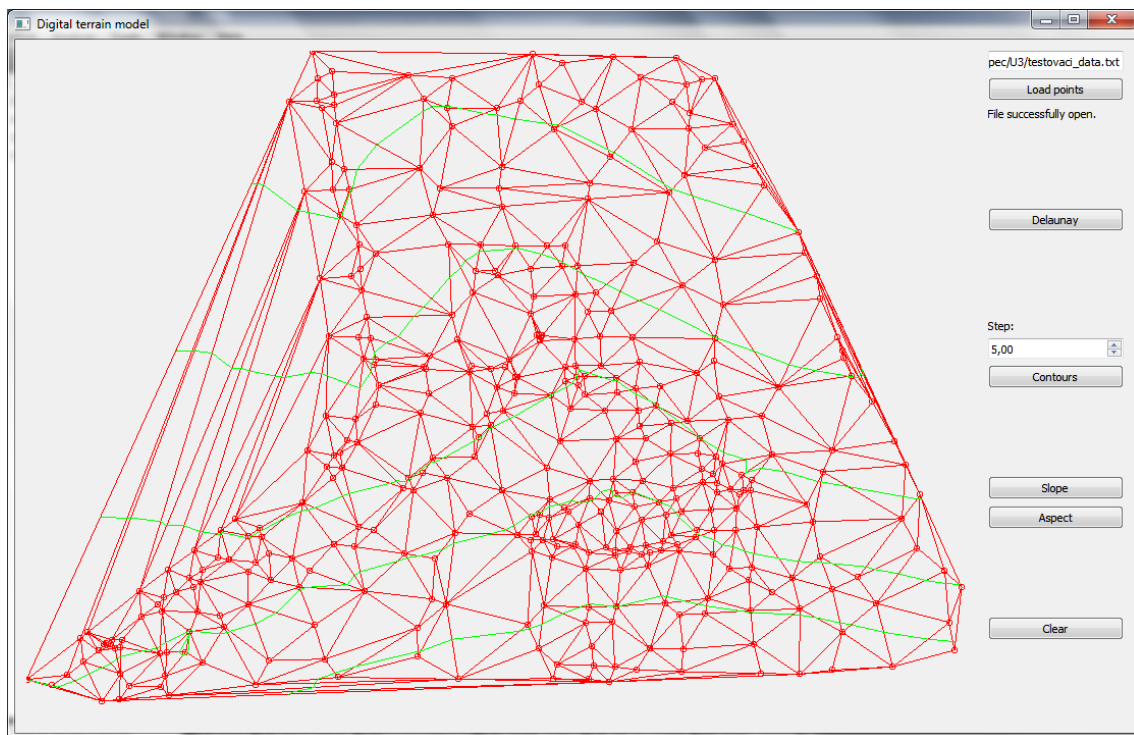
Obrázek 2: Výchozí vzhled aplikace po spuštění



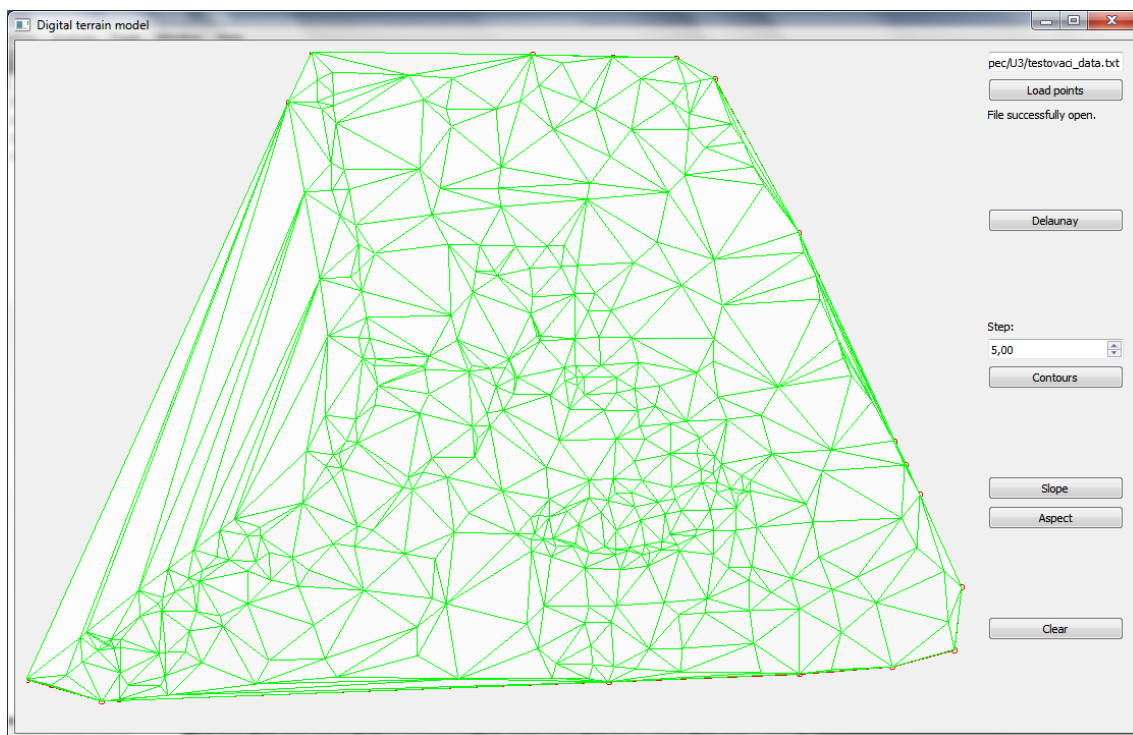
Obrázek 3: Aplikace po nahrání vstupních dat



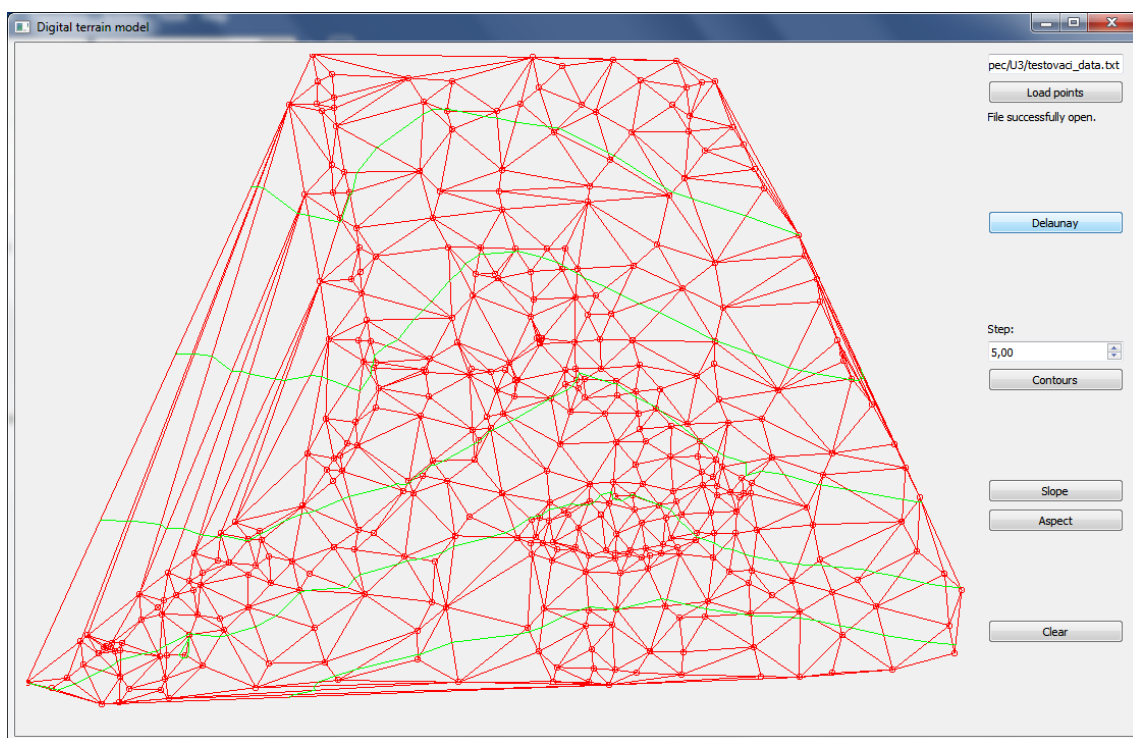
Obrázek 4: Trojúhelníková síť



Obrázek 5: Vykreslení vrstevnic



Obrázek 6: Sklon trojúhelníků



Obrázek 7: Orientace trojúhelníků

8 Zhodnocení dosažených výsledků

9 Dokumentace

Tato kapitola obsahuje dokumentaci k jednotlivým třídám.

9.1 Algorithms

Třída *Algorithms* obsahuje metody pro výpočet Delaunayho triangulace a analýzu DTM.

delaunayTriangulation

Metoda **delaunayTriangulation** vytváří nad množinou bodů Delaunayho triangulaci. Na vstupu je vektor bodů typu `QPoint3D`, metoda vrací uspořádaný vektor hran `Edge`, které tvoří jednotlivé trojúhelníky.

Input:

- *vector* `<QPoint3D> points`

Output:

- *vector* `<Edge>`

!createContours

Metoda **createContours** vytváří nad vstupní množinou hran vrstevnice na základě zadané minimální a maximální výšky a kroku, po kterém se vrstevnice budou vykreslovat. Metoda vrací vektor hran, které představují vrstevnice.

Input:

- *vector* `<Edge> dt`
- *double* `z_min` → minimální výška
- *double* `z_max` → maximální výška
- *double* `dz` → krok vrstevnic

Output:

- *vector* `<Edge>`

getSlope

Metoda **getSlope** počítá sklon trojúhelníku, který je tvořen třemi body. Návrátová hodnota typu *double* nabývá hodnot `<0°;90°>` a vrací sklon trojúhelníku.

Input:

- `QPoint3D p1`
- `QPoint3D p2`
- `QPoint3D p3`

getAspect

Metoda **getSlope** počítá orientaci trojúhelníku, který je tvořen třemi body, ke světovým stranám. Návrátová hodnota typu **double** vrací orientaci trojúhelníku ve stupních. Orientace je pravotočivá a nabývá hodnot $\langle -180^\circ; 180^\circ \rangle$.

Input:

- **QPoint3D** p_1
- **QPoint3D** p_2
- **QPoint3D** p_3

analyzeDTM

Metoda **analyzeDTM** vytváří z vektoru hran trojúhelníky a počítá pro ně sklon a orientaci. Vypočtené hodnoty ukládá do datového typu **Triangle**. Návrátová hodnota metody je vektor trojúhelníků typu **Triangle**.

Input:

- *vector* $\langle \text{Edge} \rangle$ dt

Output:

- *vector* $\langle \text{Triangle} \rangle$

getPointLinePosition

Metoda **getPointLinePosition** určuje polohu bodu q vzhledem k přímce tvořené dvěma body. Na vstupu jsou 3 body typu **QPoint3D**, návratová hodnota je nově definovaný typ **TPosition**.

Input:

- **QPoint3D** q
- **QPoint3D** a
- **QPoint3D** b

Output:

- **LEFT** \rightarrow bod se nachází vlevo od přímky
- **RIGHT** \rightarrow bod se nachází vpravo od přímky
- **ON** \rightarrow bod se nachází na přímce

getCircleRadius

Metoda **getCircleRadius** počítá poloměr kružnice, která je tvořena 3 body. Na vstupu jsou 4 body typu **QPoint3D**, návratová hodnota typu **double** vrací velikost poloměru kružnice.

Input:

- **QPoint3D** p_1
- **QPoint3D** p_2
- **QPoint3D** p_3
- **QPoint3D** $c \rightarrow$ střed kružnice

getDistance

Metoda **getDistance** počítá vzdálenost mezi dvěma body. Na vstupu jsou 2 body typu **QPoint3D**, návratová hodnota typu **double** vrací vzdálenost mezi dvěma body.

Input:

- **QPoint3D** p_1
- **QPoint3D** p_2

getNearestPoint

Metoda **getNearestPoint** slouží k nalezení nejbližšího bodu z množiny bodů vzhledem k danému bodu p . Na vstupu je daný bod p a vektor bodů typu **QPoint3D**. Návratová hodnota typu **int** vrací index nejbližšího bodu.

Input:

- **QPoint3D** p
- *vector* $\langle \mathbf{QPoint3D} \rangle$ $points$

getDelaunayPoint

Metoda **getDelaunayPoint** slouží k nalezení třetího bodu trojúhelníku, který splňuje Delaunayho kritérium nejmenší opsané kružnice. Na vstupu jsou dva body typu **QPoint3D**, které představují orientovanou hranu, a vektor bodů typu **QPoint3D**. Návratová hodnota typu **int** vrací index hledaného bodu.

Input:

- **QPoint3D** $s \rightarrow$ počáteční bod hrany
- **QPoint3D** $e \rightarrow$ koncový bod hrany
- *vector* $\langle \mathbf{QPoint3D} \rangle$ $points$

getContourPoint

Metoda **getContourPoint** počítá průsečík hrany trojúhelníku tvořené dvěma body typu **QPoint3D** s rovinou o dané výšce Z . Návrátová hodnota je typu **QPoint3D**.

Input:

- **QPoint3D** p_1
- **QPoint3D** p_2
- **double** z

9.2 Draw

Třída *Draw* obsahuje metody, které nahrávají a vykreslují vstupní množinu bodů. Dále zajišťuje vykreslení a smazání všech operací, kterou jsou nad množinou prováděny.

paintEvent

Metoda **paintEvent** vykresluje vstupní množinu bodů, Delaunayho triangulaci, vrstevnice a sklon a orientaci trojúhelníků.

clearDT

Metoda **clearDT** slouží k vymazání všech vykreslených dat.

getPoints

Metoda **getPoints** slouží k získání vektoru bodů z kreslicí plochy. Metoda vrací vektor bodů typu **QPoint3D**.

getDT

Metoda **getPoints** slouží k získání vektoru hran z kreslicí plochy. Metoda vrací vektor hran typu **Edge**.

setDT

Metoda **setDT** slouží k převedení Delaunayho triangulace do kreslicího okna.

setContours

Metoda **setContours** slouží k převedení vrstevnic do kreslicího okna.

setDTM

Metoda **setDTM** slouží k převedení digitálního modelu terénu do kreslicího okna.

loadDTM

Metoda **loadDTM** slouží k načtení vstupních dat do aplikace. Součástí metody je i kontrola, zda se soubor úspěšně nahrál. Návrátová hodnota je typu *QString* vrací hlášku, zda byly polygony úspěšně nahrány či nikoli.

drawSlope

Metoda **drawSlope** slouží k vykreslení sklonu trojúhelníků.

drawAspect

Metoda **drawAspect** slouží k vykreslení orientace trojúhelníků.

9.3 Edge

Třída *Edge* slouží k manipulaci s orientovanými hranami. Definuje dva body typu *QPoint3D* jako počáteční a koncový bod hrany.

getS

Metoda **getS** slouží k získání počáteční body hrany.

getE

Metoda **getE** slouží k získání koncový body hrany.

switchOrientation

Metoda **switchOrientation** prohazuje orientaci hrany.

9.4 QPoint3D

Třída **QPoint3D** slouží k definování nového datového typu *QPoint3D*, který je odvozen od typu *QPointF* a který navíc obsahuje souřadnici Z.

getZ

Metoda **getZ** slouží k získání souřadnice Z daného bodu.

setZ

Metoda **setZ** slouží k nastavení souřadnice Z daného bodu.

9.5 SortByXAsc

Třída **SortByXAsc** má na vstupu dva body typu **QPoint3D**, návratová hodnota je typu **bool**. Metoda vrací bod s nižší souřadnicí X. Mají-li oba body shodnou souřadnici X, vrací bod s nižší souřadnicí Y.

Input:

- **QPoint3D** p_1
- **QPoint3D** p_2

Output:

- $0 \rightarrow$ bod p_2 má nižší x souřadnici
- $1 \rightarrow$ bod p_1 má nižší x souřadnici

9.6 Triangle

Třída **Triangle** slouží k definování nového datového typu **Triangle**, který v sobě uchovává informaci o třech bodech typu **QPoint3D**, které tvoří trojúhelník, a o sklonu a expozici trojúhelníku.

getPi

Metoda **getSlope** slouží k získání bodu P_i daného trojúhelníku.

getSlope

Metoda **getSlope** slouží k získání sklonu daného trojúhelníku.

getAspect

Metoda **getAspect** slouží k získání orientace daného trojúhelníku.

9.7 Widget

Metody třídy **Widget** slouží pro práci uživatele s aplikací. Metody na vstupu nemají žádné parametry a návratové hodnoty jsou typu **void**.

on_delaunay_button_clicked

Metoda **on_delaunay_button_clicked** nad vstupní množinou bodů zobrazí Delaunayho triangulaci.

on_clear_button_clicked

Metoda **on_clear_button_clicked** vrací aplikaci do výchozí polohy smazáním všeho, co bylo vykresleno.

on_contours_button_clicked

Metoda **on_contours_button_clicked** nad vygenerovanou trojúhelníkovou sítí z Delaunayho triangulace vykreslí vrstevnice.

on_slope_button_clicked

Metoda **on_slope_button_clicked** obarví trojúhelníky vygenerované Delaunayho triangulací v odstínech šedi podle hodnoty sklonu daného trojúhelníku.

on_aspect_button_clicked

Metoda **on_aspect_button_clicked** obarví trojúhelníky vygenerované Delaunayho triangulací na základě jejich orientace ke světové straně.

on_load_button_clicked

Metoda **on_load_button_clicked** načítá data z textového formátu. Uživatel sám vyhledává cestu k požadovanému souboru.

10 Závěr

V rámci úlohy *Konvexní obálky* byla vytvořena aplikace, která nad vstupní množinou bodů vytváří striktně konvexní obálky. V rámci testování, která trvalo dlouho do noci a použitým počítačům dala pořádně zabrat, byla shromážděna data průměrné doby výpočtu striktně konvexní obálky pro jednotlivé algoritmy. Z časových důvodů byly implementovány jen některé bonusové úlohy. Opravená verze aplikace lépe implementuje odstraňování duplicitních bodů v algoritmu *Sweep Line*, což výrazně přispělo ke snížení doby běhu algoritmu. V závislosti na tom byly upraveny hodnoty v tabulkách a grafy z nich vycházející.

Po nově provedeném opravném testování považujeme za nejvhodnější algoritmus pro výpočet konvexní obálky algoritmus *Sweep Line*, a to i přesto, že pro množinu *Grid* byl o něco málo rychlejší algoritmus *Quick Hull*. Jeho rychlost se projevila hlavně u množiny *Circle* (striktně konvexní obálku nad milionem bodů generoval průměrně pod desetinu sekundy). Pro množiny *Random* a *Grid* lze považovat algoritmus *Quick Hull* za srovnatelný s algoritmem *Sweep Line* co se týče výpočetní doby. Jeho slabina se však projevila u množiny *Circle*, jejíž prostorové uspořádání zaručuje, že všechny body náleží konvexní obálce. Tady *Quick Hull* trochu zaváhal a výpočetní doba se prodloužila. Jako nevyhovujícím pro tvorbu konvexních obálek byl shledán algoritmus *Jarvis Scan*. Výpočet obálky mu i na malých množinách trval o poznání déle než ostatním algoritmům, avšak překvapila nás rychlost, s jakou se vypořádal s kružnicí v porovnání s jinými množinami.

Závěrem by bylo vhodné podotknout, že data z testování nejsou 100% spolehlivá. Již v průběhu testování bylo zaznamenáno, že doba výpočtu algoritmu velmi závisí na výkonu použitého počítače (rozdíl v rychlostech byl až dvojnásobný) a také na tom, zda jsou v době testování na počítači spuštěny jiné aplikace (např. prohlížeč) nebo se provádí jiné úkony (např. psaní technické zprávy). To může být jednou z příčin vzniku odchylek a nepřesností, které se v datech občas vyskytují. Pro zachování přibližně konzistentních podmínek při testování byly použity dva notebooky s podobným výkonem.

Do budoucna by jistě šla rozšířit nabídka generovaných množin bodů a naprogramovat celková automatizace testování. Aktuální verze kódu pro testování obsahovala pouze cyklus na 10 opakování téhož výpočtu. Dále by mohl být naprogramován další výpočetní algoritmus, *Graham Scan*, na který již autorky neměly čas. Mezi pozitivní přínosy úlohy zajisté patří objevení způsobu hromadného exportu grafů z *Excelu* do formátu *.png.

11 Zdroje

1. *BAYER, Tomáš*. 2D triangulace, DMT [online][cit. 4. 12. 2018].
Dostupné z: <https://web.natur.cuni.cz>
2. *ArcGIS Blog - New Aspect-Slope Raster Function Now Available* [online] [cit. 5. 12. 2018].
Dostupné z: <https://www.esri.com/>